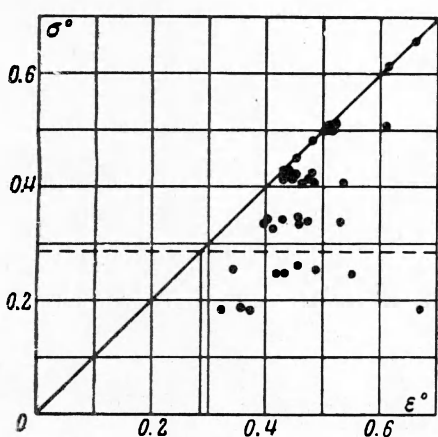
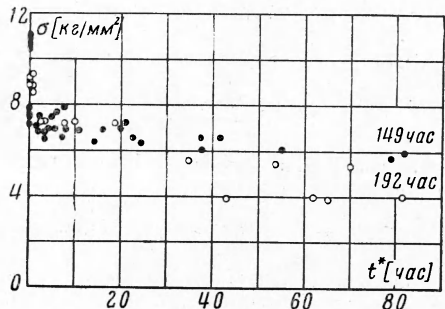


экспериментальных данных увеличивается с уменьшением напряжений, т. е. с увеличением деформации ползучести. Точно такой же вывод о величинах критической деформации оболочки при сжатии в условиях ползучести получен теоретически в работе [3] на основе нелинейных уравнений оболочки, где для ползучести материала принята гипотеза старения.

Сравнение экспериментальных результатов по изгибу и осевому сжатию оболочек, изготовленных из второй партии материала, дано на фиг. 4. По оси абсцисс здесь отложено критическое время t^* , а по оси ординат — среднее напряжение при осевом сжатии или максимальное сжимающее напряжение в начальный момент в случае изгиба.



Фиг. 3



Фиг. 4

Из фиг. 4 следует, что в области низких уровней напряжения наименьшие значения критического времени получаются при продольном сжатии. Таким образом, оценка критического времени потери устойчивости оболочек в условиях ползучести, полученная по величине упругой деформации, соответствующей нижнему критическому напряжению сжатия σ^{**} , дает гарантированное нижнее значение критического времени и для сжатия и для изгиба.

Поступила 17 XI 1964

ЛИТЕРАТУРА

1. Справочник по авиационным материалам, т. II. Оборонгиз, 1958.
2. В ольмир А. С. Устойчивость упругих систем. Физматгиз, 1963.
3. Кузнецов А. П., Куршин Л. М. К расчету на устойчивость оболочек в условиях ползучести по теории старения. Сб. «Проблемы устойчивости в строительной механике». Изд. литер. по строительству, М., 1965.

О ТЕЧЕНИИ ВЯЗКО-ПЛАСТИЧЕСКОЙ СРЕДЫ В ТРУБАХ НЕКРУГОВОГО СЕЧЕНИЯ

В. Б. Белозеров, В. А. Знаменский, А. Т. Листров

(Воронеж)

Движение вязко-пластической среды при постоянном перепаде давления в трубах круглого и кольцевого сечения рассмотрено в работах [1-4].

В настоящей работе методом малого параметра исследуется установившееся течение вязко-пластической среды в трубах некругового сечения.

1. Пусть в бесконечно длинной трубе эллиптического сечения

$$\frac{x^2}{b^2(1+\delta)^2} + \frac{y^2}{b^2(1-\delta)^2} = 1 \quad (\delta < 1)$$

где δ — безразмерный параметр; в направлении положительной оси z осуществляется течение вязко-пластического материала под действием постоянного градиента давления $q^2 = -\partial p / \partial z$.

Обозначим через μ коэффициент вязкости, k — предел текучести, S — площадь, а L — периметр поперечного сечения ядра.

[2] Предполагая течение прямолинейным, имеем в цилиндрической системе координат

$$\left(\mu + \frac{\tau_0}{h} \right) \left(\frac{\partial^2 w}{\partial r^2} + \frac{1}{r^2} \frac{\partial^2 w}{\partial \varphi^2} + \frac{1}{r} \frac{\partial w}{\partial r} \right) - \frac{\tau_0}{h^2} \left(\frac{\partial h}{\partial r} \frac{\partial w}{\partial r} + \frac{1}{r^2} \frac{\partial h}{\partial \varphi} \frac{\partial w}{\partial \varphi} \right) = -q^2$$

$$h = \left[\left(\frac{\partial w}{\partial r} \right)^2 + \left(\frac{1}{r} \frac{\partial w}{\partial \varphi} \right)^2 \right]^{1/2} \quad (1.1)$$

Здесь $w(r, \varphi)$ — скорость, τ_0 — предельное напряжение сдвига.

Для определения $w(r, \varphi)$, неизвестной границы $r_s = r_s(\varphi)$ жесткого ядра и его скорости $v = \text{const}$ необходимо решить уравнение (1.1) при условиях

$$\frac{\partial w}{\partial n} = 0, \quad q^2 S = kL, \quad v = w \quad \text{при } r = r_s \quad (1.2)$$

Здесь n — нормаль к границе ядра. На поверхности трубы принимаем условие $w = 0$.

Будем искать решение в форме разложений по малому параметру

$$w = \sum_{n=0}^{\infty} \delta^n w^{(n)}, \quad v = \sum_{n=0}^{\infty} \delta^n v^{(n)}, \quad r_s = \sum_{n=0}^{\infty} \delta^n r_s^{(n)} \quad (1.3)$$

В качестве нулевого приближения возьмем решение [2] для течения в трубе круглого сечения радиуса b

$$w^0 = \frac{1}{2b} (b^2 - r^2) - \frac{1}{b} (b - r), \quad r_s^0 = 1, \quad v^0 = \frac{(b-1)^2}{2b} (1 \leq r \leq b) \quad (1.4)$$

Здесь и далее, сохранив прежние обозначения, отнесем скорости $w^{(n)}$, $v^{(n)}$ к величине kb/μ , полярный радиус r и все линейные размеры — к величине $2k/q^2$, напряжение τ_0 — к величине k .

Уравнение контура сечения трубы представим в цилиндрических координатах в форме ряда

$$r = b + \delta b \cos 2\varphi - \frac{3}{4} \delta^2 b (1 - \cos 4\varphi) + \dots \quad (1.5)$$

Линеаризируя (1.1), (1.2) по малому параметру δ с учетом (1.3) — (1.5), получим уравнения первого приближения в виде

$$\frac{\partial^2 w'}{\partial r^2} + \frac{1}{r} \frac{\partial w'}{\partial r} + \frac{1}{r(r-1)} \frac{\partial^2 w'}{\partial \varphi^2} = 0 \quad (1.6)$$

$$r_s' = b \frac{\partial w'}{\partial r} \Big|_{r=1}, \quad v' = w' \Big|_{r=1}, \quad \int_0^{2\pi} r_s' d\varphi = 0, \quad \frac{\partial w'}{\partial \varphi} \Big|_{r=1} = 0, \quad w' \Big|_{r=b} = (b-1) \cos 2\varphi$$

Представляя решение уравнения (1.6) в форме $w' = R(r) \Phi(\varphi)$, получаем

$$w' = C_0 \ln r + D_0 [C_1 f_1(r) + D_1 f_2(r)] \cos 2\varphi \quad (C_0, D_0, C_1, D_1 = \text{const})$$

где

$$f_1(r) = r^2 - \frac{4}{3}r + \frac{1}{3}, \quad f_2(r) = \left[9 \ln r - 20.25 \frac{1}{3r-1} - 9 \ln(r-1) - \frac{2.25}{r-1} \right] \times \\ \times (r-1) \left(r - \frac{1}{3} \right)$$

— решения гипергеометрического уравнения

$$r(r-1) \frac{d^2 R}{dr^2} + (r-1) \frac{dR}{dr} - 4R = 0$$

Из граничных условий (1.6) получаем $D_0 = 0$, $C_0 = 0$, $D_1 = 0$, $C_1 = 3/(3b-1)$. Таким образом, окончательно находим

$$w' = \frac{3r^2 - 4r + 1}{3b-1} \cos 2\varphi, \quad r_s' = \frac{2b}{3b-1} \cos 2\varphi, \quad v' = 0 \quad (1.7)$$

Уравнения задачи второго приближения имеют вид

$$\frac{\partial^2 w''}{\partial r^2} + \frac{1}{r} \frac{\partial w''}{\partial r} + \frac{1}{r(r-1)} \frac{\partial^2 w''}{\partial \varphi^2} = \Psi(r) + \Theta(r) \cos 4\varphi$$

$$\int_0^{2\pi} r_s'' d\varphi = \frac{4b^2 \pi}{(3b-1)^2}, \quad w'' \Big|_{r=b} = \frac{19b - 18b^2 - 3}{4(3b-1)} + \frac{3 - 5b}{4(3b-1)} \cos 4\varphi$$

$$\frac{\partial w''}{\partial \varphi} \Big|_{r=1} = \frac{4b}{(3b-1)^2} \sin 4\varphi \quad (1.8)$$

$$r_s'' = b \frac{\partial w''}{\partial r} \Big|_{r=1} + \frac{12b}{(3b-1)^2} \cos^2 2\varphi, \quad v'' = w'' \Big|_{r=1} + \frac{b}{(3b-1)^2} (1 + \cos 4\varphi)$$

$$\Psi(r) = \frac{b(1-\varrho r^2)}{r^3(3b-1)^2}, \quad \Theta(r) = \frac{b(3r-1)(27r^2-18r-1)}{r^3(r-1)(3b-1)^2}$$

Применяя метод разделения переменных, получаем

$$w'' = R_1(r) + R_2(r) \cos 4\varphi$$

где $R_1(r)$ и $R_2(r)$ — общие решения неоднородных уравнений

$$\frac{d^2R_1}{dr^2} + \frac{1}{r} \frac{dR_1}{dr} = \Psi(r), \quad \frac{d^2R_2}{dr^2} + \frac{1}{r} \frac{dR_2}{dr} - \frac{16}{r(r-1)} R_2 = \Theta(r) \quad (1.9)$$

Общее решение первого из уравнений (1.9) имеет вид

$$R_1 = -\frac{b}{(3b-1)^2} \left(A \ln r + 9r - \frac{1}{r} + B \right) \quad (A, B = \text{const})$$

Второе уравнение (1.9) является гипергеометрическим и имеет решение [5]

$$R_2 = C_2 P(r) + C_3 T(r) + \frac{b}{(3b-1)^2} E(r), \quad (C_2, C_3 = \text{const})$$

$$P(r) = 35r^4 - 80r^3 + 60r^2 - 16r + 1$$

$$T(r) = P(r) \left[\ln r + \sum_{i=1}^4 F_i \ln(r-a_i) - \sum_{i=1}^4 H_i (r-a_i)^{-1} \right]$$

$$E(r) = P(r) \left[32 \ln r - \frac{1}{r} + \sum_{i=1}^4 S_i \ln(r-a_i) - \sum_{i=1}^4 M_i (r-a_i)^{-1} \right]$$

$$\begin{aligned} a_1 &= 1, & a_2 &= 0.78775, & a_3 &= 0.08870, & a_4 &= 0.40926 \\ F_1 &= -1, & F_2 &= 0.002646, & F_3 &= 0.0049553, & F_4 &= -0.0052577 \\ H_1 &= 0.0625, & H_2 &= 0.32857, & H_3 &= 0.22074, & H_4 &= 0.38794 \\ S_1 &= -32, & S_2 &= 0.10536, & S_3 &= 0.1828, & S_4 &= -0.16707 \\ M_1 &= 2.25, & M_2 &= 10.44778, & M_3 &= 6.17281, & M_4 &= 12.11781 \end{aligned}$$

Используя граничные условия (1.8), окончательно находим

$$w'' = -\frac{b}{(3b-1)^2} \left[A \ln r + 9r - \frac{1}{r} + B \right] + \left[C_2 P(r) + C_3 T(r) + \frac{b E(r)}{(3b-1)^2} \right] \cos 4\varphi \quad (1.10)$$

$$A = -6, \quad B = \frac{-342b^3 + 271b^2 - 63b + 4 - 24b^2(3b-1)\ln b}{4b(3b-1)^2}$$

$$C_3 = -\frac{32b}{(3b-1)^2}, \quad C_2 = \frac{(14b - 15b^2 - 3) + 128bT(b) - 4bE(b)}{4(3b-1)^2P(b)}$$

Из (1.10), (1.8) легко найти r_s'' , v'' , выражения которых из-за их громоздкости опустим.

Отметим, что из условия существования течения в трубе эллиптического сечения $q^2 S_* \geq k L_*$, где S_* — площадь, L_* — периметр эллиптического сечения трубы, вытекает, что $b \geq 1 + 1.258^2$. При $b < 1 + 1.258^2$ перепада давления q^2 недостаточно для возникновения течения.

На фиг. 1 приведены контуры трубы, границы жесткого ядра и эпюры скоростей в первом и втором приближениях для случая $b = 2$, $\delta = 0.25$. Пунктирными линиями показаны контуры ядра и сечения трубы в первом и втором приближениях. Эпюра скоростей нулевого приближения совпадает с эпюрой скоростей первого приближения при $\varphi = 45^\circ$.

Размеры эпюр скоростей увеличены на фиг. 1 в пять раз.

2. Рассмотрим теперь установившееся течение вязко-пластической среды в пространстве между двумя соосными трубами эллиптического сечения. Пусть оси эллиптических контуров L_0 и L_3 попечных сечений внутренней и внешней труб составляют угол φ_0 (фиг. 2). Предполагаем, что среда под действием постоянного градиента давления $q^2 = -\partial p / \partial z$ течет со скоростью $w(r, \varphi)$ в положительном направлении оси z . Обозначим через L_0 , L_3 — периметры сечений внутренней и внешней труб, через L_1 , L_2 — периметры внутренней и внешней границ жесткого ядра, через S — площадь попечного сечения ядра.

Для определения $w(r, \varphi)$, уравнений $r_1(\varphi)$, $r_2(\varphi)$ — границ L_1 и L_2 ядра и его скорости v имеем уравнение (1.1) и соотношения

$$q^2 S = k(L_1 + L_2), \quad w(r_1, \varphi) = w(r_2, \varphi) = v, \quad \frac{\partial w}{\partial n} \Big|_{L_1} = \frac{\partial w}{\partial n} \Big|_{L_2} = 0, \quad w|_{L_1} = w|_{L_2} = 0 \quad (2.1)$$

В качестве малого параметра возьмем безразмерную величину $\delta < 1$, характеризующую эллиптичность контуров L_0 и L_3 . Представляя искомые величины w , r_1 ,

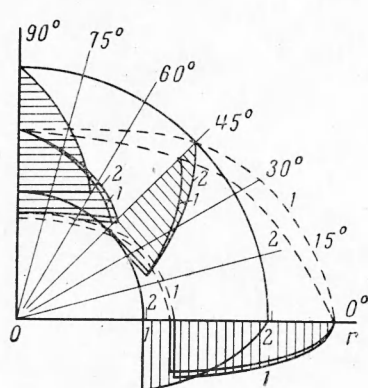
r_2, v в форме рядов (1.3), ограничимся членами порядка δ

$$w = w^o + \delta w', \quad r_1 = r_1^o + \delta r_1', \quad r_2 = r_2^o + \delta r_2', \quad v = v^o + \delta v' \quad (2.2)$$

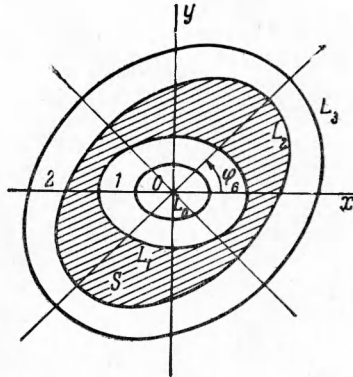
Уравнения границ L_0 и L_3 запишем соответственно в виде

$$r_0 = a (1 + \delta d_0 \cos 2\varphi), \quad r_3 = b [1 + \delta d_3 \cos 2(\varphi - \varphi_0)] \quad (2.3)$$

где a и b — радиусы окружностей, в которые преобразуются эллипсы L_0 и L_3 при $\delta = 0$, величины d_0 и d_3 — безразмерные коэффициенты.



Фиг. 1



Фиг. 2

Сохраняя прежние обозначения, перейдем к безразмерным переменным, отнеся w^o, w', v^o, v' к величине $2k^2/q^2\mu$, напряжение τ_0 — к величине k , полярный радиус r , a и b — к величине $2k/q^2$.

Решение задачи нулевого приближения [3] запишем в виде

$$\begin{aligned} w^o &= \frac{a^2 - r^2}{2} + a - r + r_1^o (r_1^o + 1) \ln \frac{r}{a} \quad (a \leq r \leq r_1^o) \\ w^o &= \frac{b^2 - r^2}{2} - b + r + r_2^o (r_2^o - 1) \ln \frac{r}{b} \quad (r_2^o \leq r \leq b) \end{aligned} \quad (2.4)$$

где радиусы r_1^o, r_2^o внутренней и внешней границ жесткого ядра связаны соотношениями

$$\begin{aligned} r_2^o &= r_1^o + 1, \quad \frac{a^2 - r_1^{o2}}{2} + a - r_1^o + r_1^o (r_1^o + 1) \ln \frac{r_1^o}{a} = \\ &= \frac{b^2 - r_2^{o2}}{2} - b + r_2^o + r_2^o (r_2^o - 1) \ln \frac{r_2^o}{b} \end{aligned}$$

Отметим, что $v^o = w^o (r_1^o) = w^o (r_2^o)$.

Линеаризируя уравнение (1.1), (2.1) с учетом (2.2) — (2.4), получим уравнения для определения компонент первого приближения.

Для области 1, примыкающей к границе внутренней трубы (фиг. 2), имеем

$$w'(a, \varphi) = -\left.\frac{dw^o}{dr}\right|_{r=a} ad_0 \cos 2\varphi, \quad r_1' = -\left[\left.\frac{\partial w'}{\partial r}\left(\frac{\partial^2 w^o}{\partial r^2}\right)^{-1}\right]\right|_{r=r_1^o}, \quad \left.\frac{\partial w'}{\partial \varphi}\right|_{r=r_1^o} = 0 \quad (2.5)$$

$$(2.6)$$

Для области 2 аналогичные соотношения имеют вид

$$w'(b, \varphi) = -\left.\frac{dw^o}{dr}\right|_{r=b} bd_3 \cos 2(\varphi - \varphi_0), \quad r_2' = -\left[\left.\frac{\partial w'}{\partial r}\left(\frac{\partial^2 w^o}{\partial r^2}\right)^{-1}\right]\right|_{r=r_2^o}, \quad \left.\frac{\partial w'}{\partial \varphi}\right|_{r=r_2^o} = 0$$

Для w' получаем уравнения

$$\frac{\partial^2 w'}{\partial r^2} + \frac{1}{r} \frac{\partial w'}{\partial r} + \frac{1}{r^2} \left(\frac{A - r^2}{A - r^2 \pm r} \right) \frac{\partial^2 w'}{\partial \varphi^2} = 0 \quad (A = r_1^o (r_1^o + 1)) \quad (2.7)$$

Здесь знак минус соответствует области 1, знак плюс — области 2.

Линеаризированные кинематические и динамические условия движения ядра как жесткого целого принимают вид

$$w'(r_1^o, \varphi) = w'(r_2^o, \varphi) = v, \quad \int_0^{2\pi} (r_2' - r_1') d\varphi = 0 \quad (2.8)$$

Решения уравнений (2.6), которые в дальнейшем будем обозначать w_1' и w_2' , ищем виде

$$\begin{aligned} w_1' &= C_0 + E_0 \ln r + \sum_{\lambda=1}^{\infty} R_{\lambda}(r) [C_{\lambda} \cos \lambda \varphi + E_{\lambda} \sin \lambda \varphi] \\ w_2' &= D_0 + F_0 \ln r + \sum_{m=1}^{\infty} T_m(r) [D_m \cos m(\varphi - \varphi_0) + F_m \sin m(\varphi - \varphi_0)] \end{aligned} \quad (2.9)$$

где $C_0, D_0, E_0, C_{\lambda}, E_{\lambda}, D_m, F_m$ — произвольные постоянные, $\lambda, m = 1, 2, 3, \dots$

Из (2.8) получаем уравнения для R_{λ} и T_m

$$\frac{d^2 R_{\lambda}}{dr^2} + \frac{1}{r} \frac{dR_{\lambda}}{dr} - \frac{\lambda_2}{r^2} \left(\frac{r^2 - A}{r^2 - A + r} \right) R_{\lambda} = 0, \quad \frac{d^2 T_m}{dr^2} + \frac{1}{r} \frac{dT_m}{dr} - \frac{m^2(r^2 - A)}{r^2(r^2 - A - r)} T_m = 0 \quad (\lambda, m = 1, 2, 3, \dots) \quad (2.10)$$

Уравнения (2.10) представляют собой уравнения класса Фукса с четырьмя особыми точками [5]. Для уравнений относительно R_{λ} особыми точками являются нуль, бесконечно удаленная точка, $r_1^{\circ} = -1/2 + (1/4 + A)^{1/2}$, $r_1^{*} = -1/2 - (1/4 + A)^{1/2}$. Уравнения для T_m , помимо нуля и бесконечно удаленной точки, имеют особыми точками $r_2^{\circ} = 1/2 + (1/4 + A)^{1/2}$ и $r_2^{*} = 1/2 - (1/4 + A)^{1/2}$.

Отметим, что особые точки r_1° и r_2° уравнений (2.10) расположены соответственно на внутренней и внешней границах ядра в задаче нулевого приближения.

Так как часть граничных условий (2.5), (2.6) для w' задана при $r = r_1^{\circ}$ и $r = r_2^{\circ}$, то в (2.9) следует использовать решения уравнений (2.10) в окрестностях их особых точек r_1° и r_2° .

Для уравнений (2.10) точки r_1° и r_2° являются слабо особыми, при этом корни определяющих уравнений в каждой из них равны нулю и единице. Поэтому для всякого λ и m одно из независимых частных решений каждого уравнения (2.10) обращается в нуль в особой точке, а другое, содержащее логарифм, имеет в особой точке отличное от нуля значение [5]. Учитывая это и последние из соотношений в (2.5) и (2.6), находим, что в (2.10) можно использовать только те частные решения уравнений (2.10), которые обращаются в нуль в особых точках r_1° и r_2° .

Из условий на границах в (2.5), (2.6) и (2.8) находим, что в (2.9), за исключением C_2 и D_2 , все произвольные постоянные следует положить равными нулю.

Таким образом, решения уравнений (2.7) при граничных условиях (2.5), (2.6) и (2.8) записуются в виде

$$w_1' = CR(r) \cos 2\varphi, \quad w_2' = DT(r) \cos 2(\varphi - \varphi_0) \quad (2.11)$$

Введем следующее обозначение для разложений:

$$S_v(r, \alpha) = \sum_{k=1}^{\infty} \alpha_{vk} (r - r_v^{\circ})^{k+1} \quad (2.12)$$

Частные решения $R(r)$, $T(r)$ уравнений (2.10) при $\lambda = m = 2$, регулярные в окрестностях особых точек r_1° и r_2° , представим в виде
 $R(r) = (r - r_1^{\circ}) + S_1(r, C)$, $T(r) = (r - r_2^{\circ}) + S_2(r, C)$ (2.13)

коэффициенты которых C_{1k} и C_{2k} последовательно определяются из соотношений [5]

$$C_{vn} [(1+n)n + a_0(1+n) + b_0] + \sum_{k=1}^n C_{v, n-k} [a_{vk} (1+n-k) + b_{vk}] = 0 \quad (2.14)$$

$$(v = 1, 2; n = 1, 2, 3, \dots)$$

в которых a_{vk} , b_{vk} — коэффициенты разложений

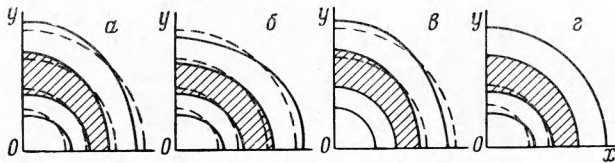
$$\begin{aligned} \frac{r - r_v^{\circ}}{r} &= a_{v0} + (r - r_v^{\circ})^{-1} S_v(r, a), \quad \frac{4(r^2 - r_1^{\circ 2} - r_1^{\circ})(r_1^{\circ} - r)}{r^2(r - r_v^{\circ})} = \\ &= b_{v0} + (r - r_v^{\circ})^{-1} S_v(r, b) \end{aligned} \quad (2.15)$$

$$(v = 1, 2)$$

Постоянные интегрирования C и D в (2.11) имеют вид

$$C = d_0 \frac{a^2 + a - r_1^{\circ 2} - r_1^{\circ}}{a - r_1^{\circ} + S_1(a, C)}, \quad D = d_3 \frac{b^2 - b - r_2^{\circ 2} + r_2^{\circ}}{b - r_2^{\circ} + S_2(b, C)} \quad (2.16)$$

В (2.13) степенной ряд для $R(r)$ имеет [5] радиус сходимости r_1° , а степенной ряд для $T(r)$ — радиус сходимости r_2° .



Фиг. 3

Учитывая (2.5), (2.6), (2.4), (2.11) — (2.16), получаем решение задачи в окончательном виде

для области 1

$$w_1' = \frac{d_0(a^2 + a - r_1^{o2} - r_1^\circ)[r - r_1^\circ + S_1(r, C)] \cos 2\varphi}{a - r_1^\circ + S_1(a, C)} \quad (2.17)$$

$$r_1' = \frac{r_1^\circ d_0(a^2 + a - r_1^{o2} - r_1^\circ) \cos 2\varphi}{(2r_1^\circ + 1)[a - r_1^\circ + S_1(a, C)]}$$

для области 2

$$w_2' = \frac{d_3(b^2 - b - r_2^{o2} + r_2^\circ)[r - r_2^\circ + S_2(r, C)] \cos 2(\varphi - \varphi_0)}{b - r_2^\circ + S_2(b, C)} \quad (2.18)$$

$$r_2' = \frac{r_2^\circ d_3(b^2 - b - r_2^{o2} + r_2^\circ) \cos 2(\varphi - \varphi_0)}{(2r_2^\circ - 1)[b - r_2^\circ + S_2(b, C)]}$$

Рассматривая линеаризованное кинематическое условие (2.8), находим, что $v' = 0$.

В качестве конкретного примера рассмотрим течение вязко-пластической среды при $a = 1.32$, $b = 3.95$, $r_1^\circ = 2$, $r_2^\circ = 3$, $A = 6$, $v^\circ = 0.7$.

В этом случае в (2.15) достаточно ограничиться пятью членами разложения.

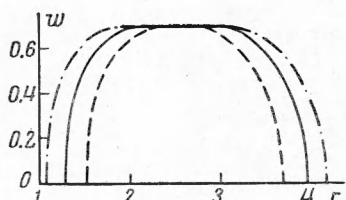
На фиг. 3 представлены контуры поперечных сечений труб и границы соответствующих им ядер при $\delta = 0.25$ в четырех характерных случаях. Фигура 3, а соответствует случаю $\varphi_0 = 90^\circ$, $d_0 = 0.7$, $d_3 = 0.25$. Случай $\varphi_0 = 0$, $d_0 = 0.7$, $d_3 = 0.25$ показан на фиг. 3, б. Фигура 3, в, соответствует значениям $\varphi_0 = 90^\circ$, $d_0 = 0$, $d_3 = 0.25$. На фиг. 3, г изображен случай $\varphi_0 = 0$, $d_0 = 0.7$, $d_3 = 0$. Границы поперечных сечений труб и границы ядер, соответствующих первому приближению, показаны на фиг. 3 сплошными линиями, контуры поперечных сечений труб и границы ядер в нулевом приближении — штриховыми. Сечения ядер, соответствующих первому приближению, заштрихованы.

На фиг. 4 приведены эпюры скоростей в сечениях $\varphi = 0$ (штриховая линия), $\varphi = 45^\circ$ (сплошная линия), $\varphi = 90^\circ$ (штрих-пунктирная линия) для случая $d_0 = 0.7$, $d_3 = 0.25$, $\varphi_0 = 90^\circ$. В сечении $\varphi = 45^\circ$ эпюра скорости w совпадает с эпюрой скорости w° в нулевом приближении.

Поступила 5 II 1965

ЛИТЕРАТУРА

- Ненску Н. Über langsame stationäre Strömungen in plastischen Massen mit Rücksicht auf die Vorgänge beim Walzen, Pressen und Ziehen von Metallen. Z. angew. Math. und Mech., 1928, B. 5, N. 2.
- Качалов А. М. Механика пластических сред. ОГИЗ, 1948.
- Боларович М. П. и Гуткин А. М. Течение пластично-вязкого тела между двумя параллельными плоскими стенками и в кольцевом пространстве между двумя коаксиальными трубками. Ж. техн. физ., 1946, т. 16, № 3.
- Мясников В. П. Течение вязко-пластической среды при сложном сдвиге. ПМТФ, 1961, № 5.
- Кузнецова Д. С. Специальные функции. Гос. изд. «Высшая школа», 1962.



Фиг. 4